VHR 535.338:546.261

ФИЗИЧЕСКАЯ ХИМИЯ

В. И. ПОТОРОЧА, В. А. ЦХАЙ, член-корреспондент АН СССР П. В. ГЕЛЬД

СТРУКТУРА ЭНЕРГЕТИЧЕСКИХ ПОЛОС МОНОКАРБИДОВ ПЕРЕХОДНЫХ МЕТАЛЛОВ IV И V ГРУПП

В работе приводятся результаты расчета по методу сильной связи энергетического спектра кубических монокарбидов переходных метадлов IV и V групи, который проводился в двухцентровом приближении с учетом ns и (n-1) d-валентных орбиталей атомов метадла (где n=4,5 или 6) и 2s-, 2p-атомов углерода. Матричные элементы уравнения $|H_{ii}-ES_{ij}|=0$ определялись сведением обменных интегралов и интегралов перекрывания к двухцентровым молекулярным интегралам (с учетом взаимодействия атомов до второй координационной сферы) (1). Атомные функции брались в форме Слейтера. Эпергия электрова в свободном атоме и впутриатомные потенциалы V(r) были взяты из таблиц (2). Численные значения V(r) аппроксимировались экспоненциальными функциями вида

$$V(r) = (1 + \alpha e^{-\gamma r} + \beta r^n e^{-\delta r}) r^{-1}.$$

Средияя ошибка подобной аппроксимации на расстоянии, равном постояний решетки, была менее 3% для атома углерода и менее 4% для атомов металла. Вычисление матричных элементов секулярного уравнения и его решения, а также обработка разультатов производились на ЭВМ М-20.

На рис. 1 приведены зависимости $E({\bf k})$ для симметричных направле-

 $\label{eq:Table} \begin{tabular}{ll} $\operatorname{Br} \mbox{пад}$ & \operatorname{атомных}$ & \operatorname{состояний}$ (в процентах) в валентно-связующую полосу (до $n_{\psi} = 8$ электронов на 1 молекулу MeC) монокарбидов IV и V групп \\ \end{tabular}$

МеС	ıl e	d _Y	2p	28	ns	[dε/dγ	$\frac{d_{\varepsilon} + d_{\mathbf{Y}} + n}{2p + 2s}$
TiC VC ZrC NbC HfC TaC	32 30 25 25 26 34	20 24 14 16 12 14	45 42 57 55 57 47	1 1 1 1 1 1 1	2 3 3 4 4	1,60 1,25 1,78 1,56 2,17 2,43	1,17 1,32 0,74 0,79 0,72 1,08

ний воны Бриллюэна исследованных карбидов. На рис. 2 представлены илотности состояний N(E), полученные решением секулярного уравнения в 214 точках внутри $^{1}/_{48}$ части воны Бриллюэна, Представленные на гистограммах N(E) положения уровней Ферми при концентрациях валентных электронов (n_{v}) , равных 8 и 9 электронов на 1 молекулу МеС, определялись в предположении жесткости полосы планиметрированием. За нуль принят уровень энергии электрона в вакууме. Как следует из расчетных данных, полосные структуры обсуждаемых карбидов характеризуются отчетливо выраженными сходными закономерностями. Это прежде всего отпосится к паличию глубоких минимумов на зависимостях N(E) вблизи значений n_{v} от 8,0 до 8,4, что находится в соответствии с результатами как теоретических, так и экспериментальных работ $(^{3-8})$.

Ниже минимумов (см. рис. 2) для всех карбидов расположены полосы с высокой плотностью состояний. Анализ участия в их образовании различных атомных состояний (табл. 1 и рис. 2a) показывает. что они образуются в основном в результате взаимодействия p- и d-орбиталей атомов

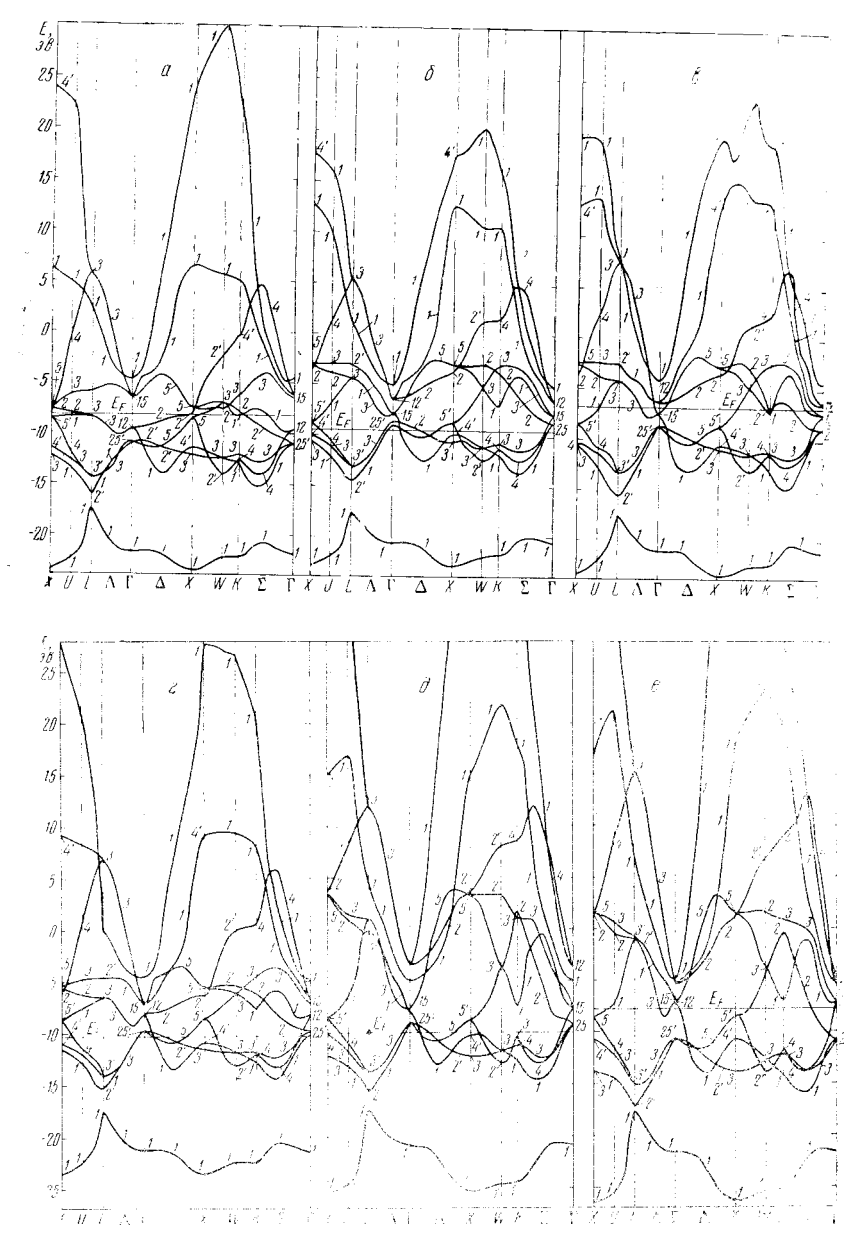
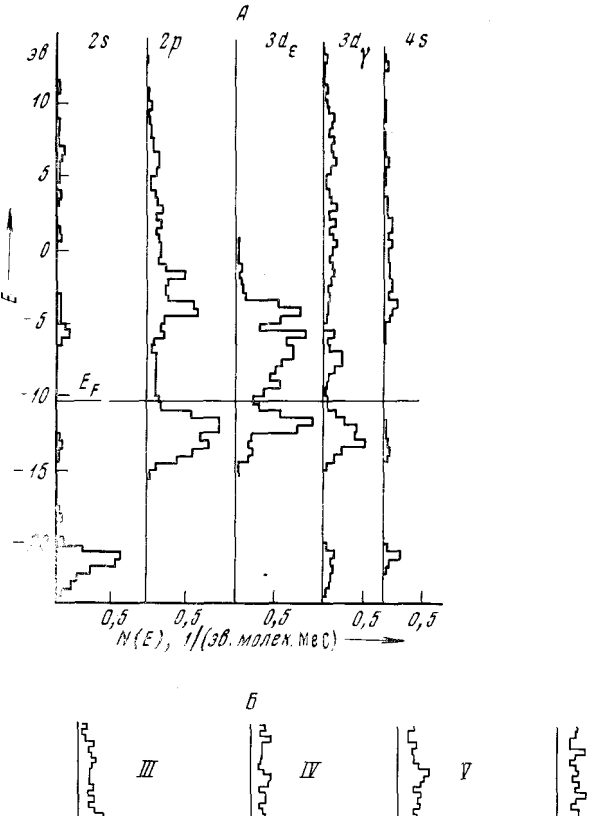


Рис. 1. Эпергетические полосы монокарбидов: a - VC; b - ZrC: b - VC; b - VC;

углерода и металла соответственно. Приблизительно одинаковый их вклад в эти полосы указывает на практическое отсутствие p-p-взаимодействий в карбидах. Преобладающий вклад d_{ε} -состояний (по сравнению с d_{γ}) говорит о больной роли $(pd\pi)$ -взаимодействий, на что уже обращалось внимание (°). Кроме того, расчетные данные показывают (см. табл. 1), что на орбиталях атома углерода (2s и 2p) акцептируются от 4,5 (для VC) до 5,3 электронов (ZrC, HfC). Сходный результат был получен в (°)

для TiC. Следует, однако, заметить, что оценка ионности связи на основаппи подобных данных представляется нам мало надежной и завышенной, гак как орбитали характеризуются значительной протяженностью (в сравнении с межатомными расстояниями).



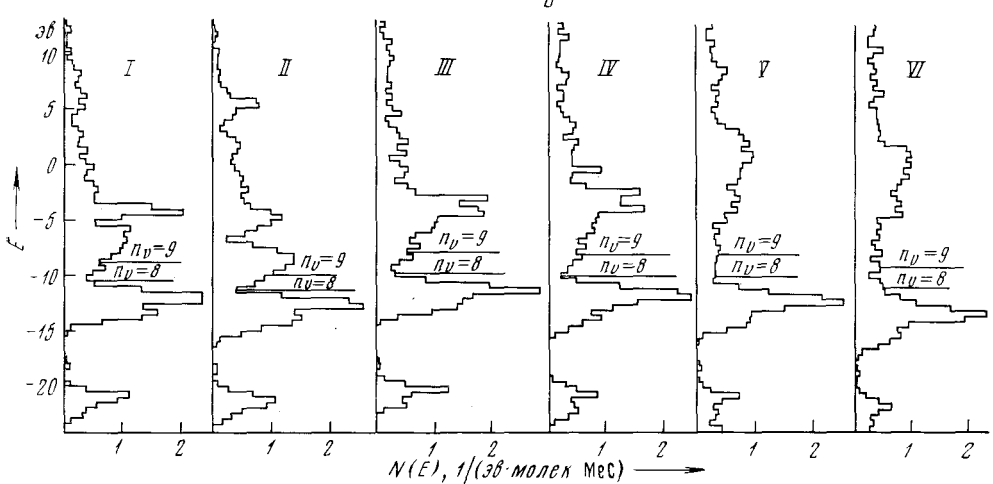


Рис. 2. Гистограммы вклада атомных состояний в полосную структуру монокарбида титана (а) и плотности состояний монокарбидов (б). I — TiC; II — VC; III — ZrC; IV — NbC; V — HfC; VI — TaC

Как следует из расчетов (рис. 2a), для всех карбидов выше минимума на зависимости N(E) расположена полоса, соответствующая связям Ме — Ме и образованная в основном с участием d_e -орбиталей, что согласуется с результатами рентгеноспектральных исследований (10 , 11). В верхней части полосы Ме — Ме вклад p-состояний вновь увеличивается, и повидимому, имеет место перекрывание с полосой разрыхляющих p-d-состояний. Оно особенно велико для HfC и TaC. «Диффузный» характер

верхней части спектра (рис. 26), вероятно, обусловлен учетом лишь ограниченного часла атомных функций.

Согласно расчету, 2s-состояния в основном расположены ниже связующей p-d-полосы, в то время как ns— в верхней части спектра, и оба они дают незначительные вклады на всех участках спектра. Установленное расстояние между 2s- и p-d-связующими полосами хорошо согласуется с положением коротковолнового сателлита на рентгеновских эмиссионных спектрах $\binom{10-12}{2}$.

Гистограммы N(E) для карбидов циркония и ниобия во многом идентичны. В связи с этим можно предположить, что для взаимных растворов $\mathrm{Zr_xNb_{1-x}C}$ будет выполняться модель квазижесткой полосы (см. также (7 , 8)). Аналогичный вывод следует и для карбидов HfC и TaC. Однако для других твердых растворов рассмотренных здесь карбидов модель квазижесткой полосы в широком энергетическом интервале вряд ли окажется приемлемой.

Ипститут химии Уральского научного центра Академии наук СССР Свердловск Поступило 9 VII 1971

ПИТИРОВАННАЯ ЛИТЕРАТУРА

¹ J. C. Slater, G. F. Koster, Phys. Rev., 94, 1498 (1954). ² J. Herman, S. S. Skilman, Atomic Structure Calculation, New Jersey, 1963. ³ H. Bilz, Zs. Phys., 153, 338 (1958). ⁴ P. Costa, R. R. Conte, Nucl. Metall., Symp. of AIME, 10, 3 (1964). ⁵ V. Ern, A. C. Switendick, Phys., Rev., 137, A 1927 (1965). ⁶ J. B. Conclin, D. J. Silwersmith, Intern. J. Quant. Chem. Symp., 2, 243 (1968). ¹ J. Piper, Nucl. Metall., Symp. of AIME, 10, 24 (1964). § S. P. Denker, J. Less—Common Metalls, 14, 1 (1968). ¹ H. Krebs, Acta crystallogr., 9, 95 (1956). ¹ Ū. M. A. Брытов, Э. З. Курмаев, С. А. Немнонов, Физ. мет. и металловед., 26, 366 (1968). ¹¹ С. А. Немнонов, Э. З. Курмаев и др., Физ. мет. и металловед., 28, 371 (1969). ¹² С. А. Немнонов, К. М. Колобова, Физ. мет. и металловед., 22, 680 (1966).